

А.Н. Иванов, проф., д-р техн. наук,

Харьковский государственный технический университет строительства и архитектуры

С.А. Джирма, доц., канд. техн. наук,

Кировоградский национальный технический университет.

Влияние футеровки на эффективность работы трубных мельниц

Рассмотрена ликвидация мёртвой зоны шаров с помощью конструктивного оформления рабочей поверхности футеровки трубных мельниц.

Футеровка, мельница, режимы работы, шаровая загрузка, коэффициент сцепления.

Для предохранения корпуса трубных мельниц от износа их футеруют плитами из различных износостойких материалов и много внимания исследователи разных стран уделили именно вопросам повышения долговечности футеровочных плит. Однако, роль футеровки не только в этом, являясь конечным звеном передачи энергии падающих шаров измельчаемому материалу, она определяет угол отрыва шаров от футеровки и соответственно режим их работы. Достигается это за счёт конструктивных особенностей рабочей поверхности плит, которые характеризуются коэффициентом сцепления. Варьируя наборами плит с разными коэффициентами сцепления можно решать различные технологические задачи. По мере появления новых износостойких материалов с разными коэффициентами трения возможна замена плит сложных геометрических форм на технологические плоские гладкие ленты с заменой болтового крепления на более технологические способы.

Рассмотрим возможность ликвидации с помощью футеровки так называемой мёртвой зоны из шаров. Известно, что мелющая загрузка состоит из шаров разного диаметра. Любой постоянный устойчивый режим работы мелющей загрузки, в каждом поперечном сечении по длине корпуса, приводит к поперечной сегрегации (расслоению) мелющих тел: мелкие шары располагаются на внешних траекториях ближе к футеровке, а крупные скапливаются в центре загрузки. Такая обратная по размерам сегрегация крайне нежелательна, так как крупные шары должны, наоборот, находится на внешних траекториях и совершать ударный водопадный режим работы, в то время как, скапливаясь в центре загрузки они образуют малоэффективную "мертвую" зону. Кроме того, крупные частицы измельчаемого материала, также находятся в мёртвой зоне, не выходят на поверхность и не измельчаются ударом, а измельчаются в неэффективном для них каскадном истирающем режиме. Все это приводит к значительным потерям энергии мелющих тел. Предпринимались различные попытки разрушения этой зоны. Так Эйгнер предложил оформлять "живое" сечение мельницы в виде правильного многоугольника. Разработана также спиральная футеровка с подъемными и отталкивающими ступенями. Но им свойственны общие недостатки: уменьшение рабочего объема помольных камер и необходимость изготовления новых типов футеровки.

Предлагается новый способ разрушения "мертвой" зоны, не требующий никаких дополнительных затрат. Суть его в том, что за один оборот мельницы загрузка работает не в одном каком-либо постоянном режиме работы, а в переменном: часть оборота в водопадном, часть – в каскадном. Для реализации этого способа используются

обычные бронеплиты или футеровка из элементов прокатного профиля с разным коэффициентом сцепления: гладкие бронеплиты имеют низкий коэффициент сцепления, равный коэффициенту трения загрузки по футеровке, а бронеплиты ступенчатые, гребенчатые, каблучковые, волнистые и др. имеют высокий коэффициент сцепления.

Футерую мельницу по периметру чередующимися участками бронефутеровки, обеспечивающими переменным коэффициентом сцепления, изменяющимся за один оборот, мельницы условия отрыва мелющих тел различных диаметров [1]. Шаровая загрузка работает в сложном водопадно-каскадном режиме, пульсирующем, при котором не происходит скопления крупных шаров в центре загрузки.

В развитие этого режима авторы предлагают следующее. Так как, в каждом поперечном сечении мельницы по ее длине есть одновременно и крупные и мелкие частицы, то необходимо, чтобы и мелющие тела работали в течение каждого оборота то в водопадном, то в каскадном режиме пропорционально количеству частиц, требующих измельчения ударом и истиранием. Соотношение количества этих частиц можно определить из диаграммы помола, построенной по остаткам на сите, размер ячеек которого соответствует граничному размеру частицы, требующей измельчения истиранием. Тогда ординаты под и над диаграммой помола покажут количество соответственно крупных и мелких частиц. Аналитически это можно записать, как

$$\frac{T_B}{T_K} = \frac{R}{R_0 - R}, \quad (1)$$

где T_B и T_K – время работы мелющих тел за один оборот корпуса мельницы соответственно в водопадном и каскадном режимах в любом исходном поперечном сечении,

R_0 и R – весовые остатки измельчаемого материала (%) соответственно в начальном и любом исходном поперечном сечении по длине мельницы в пробах на сите, размер которого отвечает размеру частиц, требующих измельчения истиранием. Для клинкера значение граничного размера в среднем составляет 0,5 мм.

Рассмотрим закономерность изменения режимов работы как за время одного оборота корпуса, так и по длине мельницы. На рис. 1 дана диаграмма помола по остаткам на сите 05. Начальное количество крупной фракции R_0 . Вес крупных частиц текущего контроля определяется процентным содержанием остатка R в пробе на контрольном сите, а вес мелких частиц, прошедших через сито, равен $R_0 - R$.

Высота ординат H_i диаграммы помола мельницы непрерывного действия длиной L показывает количество крупных частиц в рассматриваемом сечении, а величина h_i – мелких частиц. Сумма ординат $H_i + h_i = R_0$. Величину R можно определить, зная аналитическое выражение для описания диаграмм помола. Тогда

$$T_B / T_K = \frac{R_0 \cdot e^{-kL^m}}{R_0 - R_0 \cdot e^{-kL^m}}. \quad (2)$$

Поскольку R представляет на рис. 1 ординату H_i , характеризующую количество крупных частиц (требующих измельчения ударом, т.е. водопадного режима), то время работы мелющих тел в водопадном режиме T_B за один оборот мельницы будет составлять от времени полного оборота мельницы T часть, пропорциональную H . Естественно, остальную часть оборота загрузка должна работать в каскадном режиме.

Очевидно, что также (рис. 1) величина T_K пропорциональна величине h_i , характеризующей количество мелких частиц (требующих измельчения истиранием).

Вопрос реализации решается за счет определенного чередования футеровочных плит с высоким и низким коэффициентом сцепления по отношению к мелющей

загрузке. Известно, что для создания водопадного режима работы с целью измельчения крупных частиц ударом в первых камерах трубных мельниц устанавливают футеровочные плиты с высоким коэффициентом сцепления, т.е. профиль рабочей поверхности их имеет выступы различной формы (волнистые, ступенчатые, гребенчатые, кулачковые, планочные и т.п.). Во вторых камерах для создания каскадного режима с целью тонкого измельчения материала применяют плиты с низким (минимальным) коэффициентом сцепления, дающие максимальное скольжение загрузки. Это гладкие цилиндрические плиты.

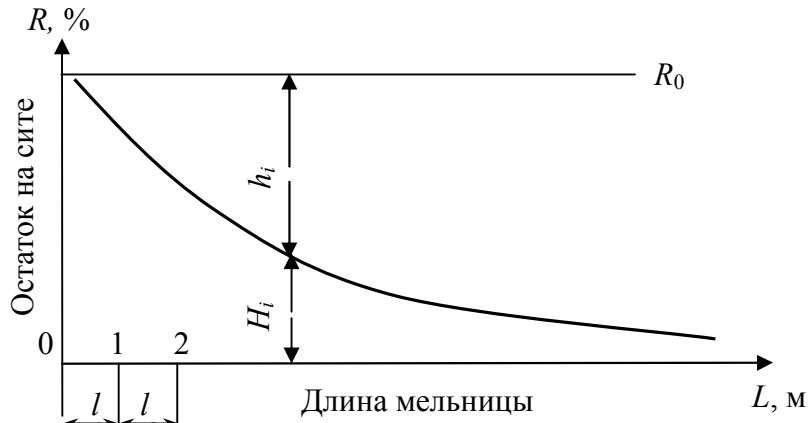


Рисунок 1 - Диаграмма помола по остаткам на сите 05.

Таким образом, если по длине окружности барабана установить с определенным чередованием различное количество плит с высоким и низким коэффициентом сцепления, то за один оборот барабана мелющие тела будут работать часть оборота в водопадном (при контакте с участком плит с высоким коэффициентом сцепления) и часть оборота в каскадном режиме. Поскольку за время одного оборота T барабан мельницы диаметром D поворачивается на 360° и совершает путь длиной πD , то, используя прежние значения, имеем

$$T_B / T_K = l_B / l_H = \gamma / \theta = H_i / h_i = \frac{R_0 \cdot e^{-kL^m}}{R_0 - R_0 \cdot e^{-kL^m}}, \quad (3)$$

где l_B , γ , l_H , θ – соответственно длины и углы секторов участков плит с высоким и низким коэффициентом сцеплений.

На рис. 2 даны сечения по длине мельницы АА и ББ, причем сечения АА даны в различных положениях вращения мельницы.

Как видно из рис. 2 (сечение АА) футеровка состоит из участков 1 с плитами высокого коэффициента сцепления и участков 2 с плитами низкого коэффициента сцепления. Длину l_B участка 1 (определенную углом γ) и длину l_H , участка 2 (с центральным углом θ) находим используя (3) для любого участка по длине мельницы L .

Определив по формуле (3) значение T_B из соотношения $T_B/T = l_B/\pi D$, можно определить l_B , а зная $T_K = T - T_B$, затем по (3) найти и l_H или из $T_K/T = l_H/\pi D$.

В зависимости от того, на какой футеровке (с высоким или низким коэффициентом сцепления) находятся шары, они поднимаются на разную высоту и работают в разных режимах в течение каждого оборота мельницы, что создает пульсирующее движение шаров и разбивает мёртвую зону.

Значения l_B и l_H можно определить и графически из диаграммы помола, которая имеется для каждой работающей мельницы. Для этого измеряют H_i и h_i и проставляют

их в зависимость $l_B/l_H = H_i/h_i$. Минимальное значение l_B или l_H принимают равным $\pi D/(8 \div 12)$, что объясняется следующим. Согласно выполненным нами расчетам и полученным опытным путем данным, для полного проявления водопадного или каскадного режима угол футеровки γ или θ участка плит с высоким или низким коэффициентом сцепления должен быть не менее $30\text{--}45^\circ$, что соответствует $1/(8 \div 12)$ длине окружности или по времени $T/8 \div 12 \approx 0,125 - 0,083T$.

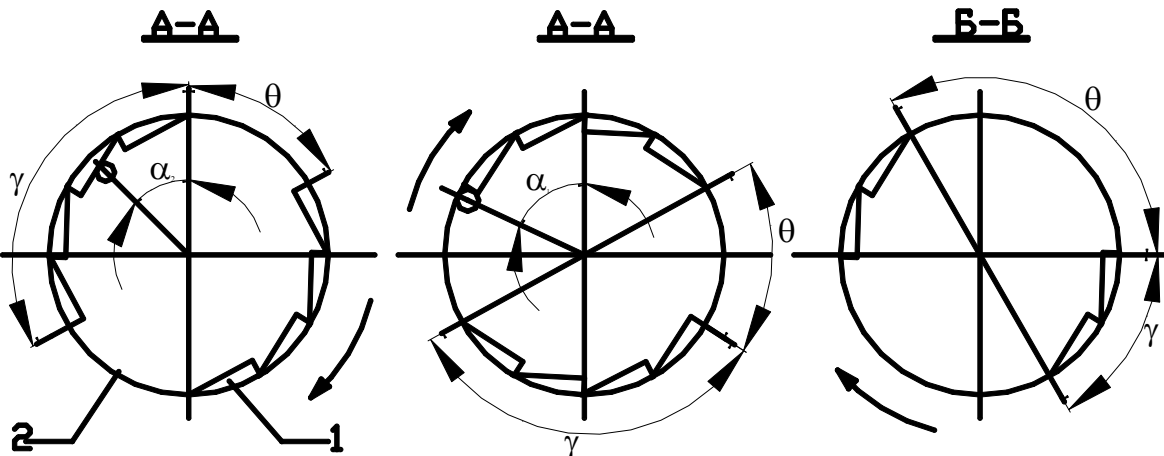


Рисунок 2 - Схема чередования участков футеровки по длине мельницы.

Поскольку по длине мельницы число крупных частиц уменьшается, то соответственно величины H_i и l_B снижаются (рис. 2). Там, где γ или θ получается меньше -30° ставят по всей длине окружности плиты одного коэффициента сцепления. Так, в начале мельницы полностью ставят только плиты с высоким коэффициентом сцепления, а в конце - с низким.

В случае использования рассматриваемого варианта реализации с помощью футеровки это делается ступенчато, от кольца к кольцу, поскольку футеровочные плиты устанавливаются в мельнице рядами колец. Тогда значения H_i и h_i надо брать для средних точек габарита длины плиты, т.е. в середине каждого кольца. Естественно, что полученные значения l_B и l_H округляют до величин, определяемых целым числом плит в каждом участке.

Таким образом, длину мельницы L в формуле (3) можно выразить через длину l как

$$L = l(n + 1/2), \quad (3)$$

где n – порядковый номер рассматриваемого ряда кольца футеровки, отсчитываемый со стороны загрузки мельницы, начиная с “0”.

Ликвидация мёртвого ядра значительно повышает эффективность работы мельницы.

Список литературы:

1. Пат. 50843 Україна, В02C23 / 06. Спосіб помелу матеріалів в трубних млинах. / Іванов А.М. (Україна) № 000020953; Заявлено 21.02.2000; Опубл. 15.11.2002. Бюл. № 11. - 4 с.

Розглянута ліквідація мертвової зони куль за допомогою конструктивного оформлення робочої поверхні футерівки.

The liquidation of spherical dead area with the help of constructional design of a working surface of lining of tube mills is reviewed.